

УДК 532.59+539.3:534.1

ПОВЕДЕНИЕ ПОЛУБЕСКОНЕЧНОГО ЛЕДЯНОГО ПОКРОВА ПРИ РАВНОМЕРНОМ ДВИЖЕНИИ НАГРУЗКИ

Л. А. Ткачева

Институт гидродинамики им. М. А. Лаврентьева СО РАН, 630090 Новосибирск, Россия
E-mail: tkacheva@hydro.nsc.ru

Рассматривается поведение полубесконечного ледяного покрова на поверхности идеальной несжимаемой жидкости конечной глубины под действием нагрузки, движущейся с постоянной скоростью вдоль кромки покрова на некотором расстоянии от нее. Ледяной покров моделируется тонкой упругой пластиной постоянной толщины. В движущейся системе координат прогиб пластины полагается установившимся. С помощью метода Винера — Хопфа построено аналитическое решение задачи. Исследованы волновые силы, прогиб пластины и возвышение свободной поверхности жидкости при различных скоростях движения нагрузки.

Ключевые слова: поверхностные волны, изгибно-гравитационные волны, плавающая упругая пластина, дисперсионные соотношения, движущаяся нагрузка, преобразование Фурье, метод Винера — Хопфа.

DOI: 10.15372/PMTF20180209

Введение. Задача о поведении ледяного покрова под действием движущейся нагрузки изучается, с одной стороны, с целью исследования способов разрушения ледяного покрова с помощью судов на воздушной подушке, а с другой — с целью исследования возможности использования ледяного покрова в качестве переправ, плавающих платформ различного назначения. В последнем случае необходимо знать несущую способность ледяного покрова. В зимних условиях температура ледяного покрова резко меняется по толщине. Модуль Юнга льда существенно зависит от температуры и также меняется по толщине. В работе [1] показано, что для расчета прогиба льда можно использовать теорию пластин с постоянным по толщине модулем Юнга, для определения которого выведены специальные формулы. Напряжения в пластине не являются линейными по толщине и должны рассчитываться по формулам с изменяющимся по толщине модулем Юнга.

Генерация волн на свободной поверхности жидкости конечной глубины движущимся возмущением исследовалась в начале XX в. в работе [2]. В дальнейшем было опубликовано большое число работ по этой тематике. Исследование поведения бесконечного ледяного покрова, полностью покрывающего поверхность жидкости, при динамических воздействиях начато в работах [3, 4]. В настоящее время имеется большое число работ, в которых изучается поведение бесконечного ледяного покрова при различных видах нагрузки: постоянной и периодической по времени, неподвижной и движущейся, при нестационарном воздействии, а также при движении подводного тела. Обзоры полученных результатов

приведены в [5–11]. Следует отметить экспериментальную работу [12], в которой исследован прогиб ледяного покрова при различных скоростях движения судна на воздушной подушке. Теоретические результаты представлены в работах [4, 13–15]. В [4, 13] изучен прогиб пластины в дальнем поле при различных скоростях движения нагрузки. В [14] эти исследования продолжены с учетом сжимающих напряжений в пластине, равномерного течения жидкости под пластиной, стратификации жидкости (двухслойная модель). В [15] построены трехмерные графики прогиба пластины вблизи области действия нагрузки, получено приближенное решение в дальнем поле перед нагрузкой и позади нее.

Известно, что существует критическая скорость, совпадающая с минимальной фазовой скоростью изгибно-гравитационных волн в пластине. Стационарного решения задачи о равномерном движении нагрузки с критической скоростью по поверхности упругой плавающей пластины не существует. Для определения ограниченного решения при критической скорости необходимо использовать нелинейные модели или учитывать структурное демпфирование пластины. Силы волнового сопротивления в случае движения нагрузки по упругой бесконечной плавающей пластине изучались в работах [16–18].

При ограниченности ледяного покрова необходимо учитывать взаимодействие изгибно-гравитационных и поверхностных волн. Задача о поведении ограниченного ледяного покрова, находящегося под действием движущейся нагрузки, изучена недостаточно. В работе [19] с использованием метода конечных элементов исследовалось напряженно-деформированное состояние полубесконечного ледяного покрова под действием движущейся нагрузки. В [20] изучалось поведение упругой плавающей пластины большого размера, моделирующей плавающий аэропорт при взлете и посадке самолета. В работе [21] в линейном приближении и нелинейной постановке исследовались генерируемые движущейся нагрузкой изгибно-гравитационные волны в полубесконечной пластине, закрепленной на вертикальной стенке. В [22] построено решение задачи о движении нагрузки по ледяному покрову в канале.

В настоящей работе исследуются волны в полубесконечном ледяном покрове и в жидкости, а также волновые силы в случае равномерного движения нагрузки при различных скоростях.

1. Постановка задачи. Ледяной покров моделируется упругой полубесконечной пластиной постоянной толщины h , плавающей на поверхности идеальной несжимаемой жидкости конечной глубины H . Модуль Юнга полагается постоянным по толщине пластины [1]. Рассматривается движение пластины и жидкости под действием давления, приложенного в локальной области, движущейся с постоянной скоростью. Задача решается в линейной постановке. Введем декартову систему координат $Oxyz$ с центром O на кромке пластины, осью Ox , перпендикулярной кромке, осью Oy , направленной вдоль кромки, и осью Oz , направленной вертикально вверх. Предполагается, что давление равномерно распределено по области S прямоугольной формы шириной $2a$ и длиной $2b$. Область давления движется со скоростью V в положительном направлении оси Oy : $S = \{(x, y): |x - x_0| < a, |y - Vt| < b\}$, давление внешней нагрузки равно $q_0 = gM/(4ab)$, где M — масса движущегося тела; g — ускорение свободного падения. Как и в работе [15], данная нагрузка моделирует судно на воздушной подушке.

Перейдем в систему координат, движущуюся вместе с областью давления: $y' = y - Vt$. Далее штрихи будем опускать. Потенциал течения жидкости удовлетворяет уравнению Лапласа

$$\frac{\partial^2 \varphi}{\partial x^2} + \frac{\partial^2 \varphi}{\partial y^2} + \frac{\partial^2 \varphi}{\partial z^2} = 0. \quad (1.1)$$

Прогиб пластины описывается уравнениями

$$D\left(\frac{\partial^2}{\partial x^2} + \frac{\partial^2}{\partial y^2}\right)^2 w + \rho_0 h \left(\frac{\partial}{\partial t} - V \frac{\partial}{\partial y}\right)^2 w = p - q(x, y), \quad D = \frac{Eh^3}{12(1-\nu^2)}; \quad (1.2)$$

$$\frac{p}{\rho} = -\left(\frac{\partial}{\partial t} - V \frac{\partial}{\partial y}\right)\varphi - gw, \quad q(x, y) = q_0 \quad (|x - x_0| < a, |y| < b). \quad (1.3)$$

Осадка пластины в воду не учитывается. Граничные условия на верхней границе жидкости сносятся на плоскость $z = 0$. На свободной поверхности давление равно нулю. На верхней границе жидкости при $z = 0$ выполняется кинематическое соотношение

$$\left(\frac{\partial}{\partial t} - V \frac{\partial}{\partial y}\right)w = \varphi_z \quad (z = 0), \quad (1.4)$$

на дне — условие непротекания

$$\varphi_z = 0 \quad (z = -H). \quad (1.5)$$

Здесь $w(x, y)$ — вертикальное смещение пластины или возвышение свободной поверхности; ρ_0, ρ — плотности льда и жидкости; p — гидродинамическое давление; D — цилиндрическая жесткость пластины; E — модуль Юнга; ν — коэффициент Пуассона; t — время. Край пластины свободен:

$$\frac{\partial^2 w}{\partial x^2} + \nu \frac{\partial^2 w}{\partial y^2} = 0, \quad \frac{\partial}{\partial x} \left(\frac{\partial^2 w}{\partial x^2} + (2 - \nu) \frac{\partial^2 w}{\partial y^2} \right) = 0 \quad (x = 0, z = 0). \quad (1.6)$$

На бесконечности ставится условие излучения, волны являются уходящими от источника возмущений.

2. Решение задачи. Введем безразмерные переменные и параметры

$$(x', y', z') = \frac{(x, y, z)}{H}, \quad (x'_0, a', b') = \frac{(x_0, a, b)}{H}, \quad \beta = \frac{D}{\rho g H^4},$$

$$F = \frac{V}{\sqrt{gH}}, \quad \sigma = \frac{\rho_0 h}{\rho H}, \quad q'_0 = \frac{q_0}{\rho g H}.$$

Далее штрихи будем опускать. Потенциал течения жидкости, давление и прогиб пластины будем искать в виде

$$\varphi = V H \phi(x, y, z), \quad p = \rho g H P(x, y, z), \quad w = H W(x, y).$$

Тогда, исключая время t из (1.1)–(1.6), для функций $\phi(x, y, z)$, $W(x, y)$ получаем систему уравнений

$$\begin{aligned} \frac{\partial^2 \phi}{\partial x^2} + \frac{\partial^2 \phi}{\partial y^2} + \frac{\partial^2 \phi}{\partial z^2} &= 0 \quad (-1 < z < 0), \\ \phi_z &= 0 \quad (z = -1), \quad \phi_z = -W_y \quad (z = 0), \\ \frac{\partial \phi}{\partial z} + F^2 \frac{\partial^2 \phi}{\partial y^2} &= 0 \quad (z = 0, x < 0), \\ \left(\beta \Delta_2^2 + 1 + \sigma F^2 \frac{\partial^2}{\partial y^2} \right) \frac{\partial \phi}{\partial z} + F^2 \frac{\partial^2 \phi}{\partial y^2} &= \frac{\partial q}{\partial y} \quad (z = 0, x > 0), \\ \left(\frac{\partial^2}{\partial x^2} + \nu \frac{\partial^2}{\partial y^2} \right) \phi_z &= 0, \quad \frac{\partial}{\partial x} \left(\frac{\partial^2}{\partial x^2} + (2 - \nu) \frac{\partial^2}{\partial y^2} \right) \phi_z = 0 \quad (x = 0, z = 0), \end{aligned} \quad (2.1)$$

где Δ_2 — оператор Лапласа по горизонтальным координатам.

Вводя преобразование Фурье по переменным x и y :

$$\Phi_-(\alpha, s, z) = \int_{-\infty}^{\infty} e^{-isy} dy \int_{-\infty}^0 \phi(x, y, z) e^{i\alpha x} dx,$$

$$\Phi_+(\alpha, s, z) = \int_{-\infty}^{\infty} e^{-isy} dy \int_0^{\infty} \phi(x, y, z) e^{i\alpha x} dx, \quad \Phi(\alpha, s, z) = \Phi_-(\alpha, s, z) + \Phi_+(\alpha, s, z),$$

из уравнения Лапласа и условия непротекания на дне получаем

$$\frac{\partial^2 \Phi}{\partial z^2} - (\alpha^2 + s^2)\Phi = 0 \quad (-1 < z < 0),$$

$$\Phi_z = 0 \quad (z = -1).$$

Тогда

$$\Phi(\alpha, s, z) = C(\alpha, s)Z(\alpha, s, z), \quad Z(\alpha, s, z) = \text{ch}((z+1)\sqrt{\alpha^2 + s^2}) / \text{ch}(\sqrt{\alpha^2 + s^2}), \quad (2.2)$$

где $C(\alpha, s)$ — неизвестная функция.

Применяя метод Винера — Хопфа [23] и вводя функции D_{\pm} , G_{\pm} следующим образом:

$$D_-(\alpha, s) = \int_{-\infty}^{\infty} e^{-isy} dy \int_{-\infty}^0 (\phi_z + F^2 \phi_{yy}) e^{i\alpha x} dx,$$

$$D_+(\alpha, s) = \int_{-\infty}^{\infty} e^{-isy} dy \int_0^{\infty} (\phi_z + F^2 \phi_{yy}) e^{i\alpha x} dx,$$

$$G_-(\alpha, s) = \int_{-\infty}^{\infty} e^{-isy} dy \int_{-\infty}^0 \left[\left(\beta \Delta_2^2 + 1 + \sigma F^2 \frac{\partial^2}{\partial y^2} \right) \phi_z + F^2 \phi_{yy} \right] e^{i\alpha x} dx,$$

$$G_+(\alpha, s) = \int_{-\infty}^{\infty} e^{-isy} dy \int_0^{\infty} \left[\left(\beta \Delta_2^2 + 1 + \sigma F^2 \frac{\partial^2}{\partial y^2} \right) \phi_z + F^2 \phi_{yy} \right] e^{i\alpha x} dx,$$

из уравнений (2.1) получаем

$$D_-(\alpha, s) = 0, \quad G_+(\alpha, s) = isQ(\alpha, s); \quad (2.3)$$

$$Q(\alpha, s) = \int_{-\infty}^{\infty} dy \int_{-\infty}^{\infty} q(x, y) e^{i(\alpha x - sy)} dx = \frac{4q_0 e^{i\alpha x_0} \sin(\alpha a) \sin(sb)}{\alpha s}$$

и из представления (2.2) находим

$$D(\alpha, s) = D_-(\alpha, s) + D_+(\alpha, s) = C(\alpha, s)K_1(\alpha, s),$$

$$G(\alpha, s) = G_-(\alpha, s) + G_+(\alpha, s) = C(\alpha, s)K_2(\alpha, s), \quad (2.4)$$

где $K_1(\alpha, s)$, $K_2(\alpha, s)$ — дисперсионные функции для жидкости со свободной поверхностью и жидкости, находящейся под упругой пластиной, при равномерном движении источника возмущений:

$$K_1(\alpha, s) = \sqrt{\alpha^2 + s^2} \text{th}(\sqrt{\alpha^2 + s^2}) - F^2 s^2,$$

$$K_2(\alpha, s) = [\beta(\alpha^2 + s^2)^2 + 1 - \sigma F^2 s^2] \sqrt{\alpha^2 + s^2} \text{th}(\sqrt{\alpha^2 + s^2}) - F^2 s^2. \quad (2.5)$$

Известно, что дисперсионное соотношение для гравитационных волн

$$K_1(\gamma) \equiv \gamma \operatorname{th} \gamma - F^2 s^2 = 0$$

при фиксированном значении s имеет два действительных корня $\pm\gamma_0(s)$ и счетное множество мнимых корней $\pm\gamma_m(s)$, $m = 1, 2, \dots$. Дисперсионное соотношение для изгибно-гравитационных волн под упругой пластиной

$$K_2(\mu) \equiv (\beta\mu^4 + 1 - \sigma F^2 s^2)\mu \operatorname{th} \mu - F^2 s^2 = 0$$

имеет два действительных корня $\pm\mu_0(s)$, четыре комплексных корня, которые обозначим $\pm\mu_{-1}(s)$, $\pm\mu_{-2}(s)$, $\mu_{-2} = -\bar{\mu}_{-1}$ (черта обозначает комплексное сопряжение), и счетное множество чисто мнимых корней $\pm\mu_m(s)$, $m = 1, 2, \dots$. Тогда корни дисперсионных соотношений (2.5) соответственно равны $\pm\chi_m$, $\pm\alpha_m$:

$$\chi_m(s) = \sqrt{\gamma_m^2(s) - s^2}, \quad \alpha_m(s) = \sqrt{\mu_m^2(s) - s^2}.$$

В последних выражениях значения комплексных корней выбираются в верхней полуплоскости, действительных корней — на положительной полуоси. Если $|s| < \gamma_0(s)$, то $\chi_0(s)$ — вещественный корень, в противном случае все корни чисто мнимые. Если $|s| < \mu_0(s)$, то $\alpha_0(s)$ — вещественный корень, в противном случае все корни комплексные.

При $x \rightarrow -\infty$ функция $\Phi_-(\alpha, s, z)$ представляет собой линейную комбинацию функций вида

$$e^{-i(\chi_m x + sy)} \operatorname{ch}(\gamma_m(z+1)) / \operatorname{ch}(\gamma_m).$$

Следовательно, она аналитична по α во всей нижней полуплоскости $\operatorname{Im}(\alpha) < \lambda_1$, за исключением возможных вещественных полюсов в точках $\pm\chi_0$ ($\lambda_1 = |\chi_1|$ при $|s| \leq \gamma_0$, $\lambda_1 = |\chi_0|$ при $|s| > \gamma_0$). При $x \rightarrow \infty$ функция $\Phi_+(\alpha, s, z)$ представляет собой линейную комбинацию функций вида

$$e^{i(\alpha_m x - sy)} \operatorname{ch}(\mu_m(z+1)) / \operatorname{ch}(\mu_m).$$

Следовательно, она аналитична по α во всей верхней полуплоскости $\operatorname{Im}(\alpha) > -\lambda_2$, за исключением возможных вещественных полюсов в точках $\pm\alpha_0$ ($\lambda_2 = \min |\operatorname{Im}(\alpha_m)|$, $m \neq 0$ при $|s| \leq \mu_0$, $\lambda_2 = |\operatorname{Im}(\alpha_0)|$ при $|s| > \mu_0$).

Исключая из соотношений (2.3), (2.4) $C(\alpha, s)$, выводим уравнение

$$G_-(\alpha, s) + isQ(\alpha, s) = D_+(\alpha, s)K(\alpha, s), \quad K(\alpha, s) = K_2(\alpha, s)/K_1(\alpha, s). \quad (2.6)$$

В соответствии с методом Винера — Хопфа факторизуем функцию $K(\alpha, s)$:

$$K(\alpha, s) = K_-(\alpha, s)K_+(\alpha, s).$$

Функции K_- и K_+ аналитичны по α соответственно в нижней и верхней полуплоскостях и определяются формулами

$$K_{\pm}(\alpha, s) = \frac{(\alpha \pm \alpha_{-1})(\alpha \pm \alpha_{-2})}{\mu_{-1}\mu_{-2}} \prod_{j=0}^{\infty} \frac{(\alpha \pm \alpha_j)\gamma_j}{\mu_j(\alpha \pm \chi_j)}.$$

Разделив левую и правую части уравнения (2.6) на $K_-(\alpha, s)$, получаем

$$\frac{G_-(\alpha, s)}{K_-(\alpha, s)} + 2q_0 \sin(sb) \frac{\psi(\alpha)}{K_-(\alpha, s)} = D_+(\alpha, s)K_+(\alpha, s), \quad \psi(\alpha) = \frac{e^{i\alpha(x_0+a)} - e^{i\alpha(x_0-a)}}{\alpha}.$$

С использованием представления [23]

$$\frac{\psi(\alpha)}{K_-(\alpha, s)} = L_-(\alpha, s) + L_+(\alpha, s), \quad L_{\pm}(\alpha, s) = \pm \frac{1}{2\pi i} \int_{-\infty \mp i\lambda}^{\infty \mp i\lambda} \frac{\psi(\zeta)}{K_-(\zeta, s)(\zeta - \alpha)} d\zeta,$$

где функции L_{\pm} аналитичны по α соответственно в верхней и нижней полуплоскостях; $\lambda < \min(\lambda_1, \lambda_2)$, получаем уравнение

$$G_-(\alpha, s)/K_-(\alpha, s) + 2q_0 \sin(sb)L_-(\alpha, s) = D_+(\alpha, s)K_+(\alpha, s) - 2q_0 \sin(sb)L_+(\alpha, s),$$

в левой части которого содержится функция, аналитическая в нижней полуплоскости, а в правой части — функция, аналитическая в верхней полуплоскости. Следовательно, эти функции представляют аналитическую функцию во всей комплексной плоскости. Согласно теореме Лиувилля данная функция является полиномом, степень которого определяется поведением функции на бесконечности по α . Имеем

$$K_{\pm}(\alpha, s) = O(|\alpha|^2), \quad L_{\pm}(\alpha, s) = O(|\alpha|^{-1}), \quad |\alpha| \rightarrow \infty.$$

Вблизи кромки пластины градиент потенциала имеет интегрируемую особенность $O(r^{-\eta})$ ($\eta < 1$; r — расстояние до кромки пластины). Тогда [24] при $|\alpha| \rightarrow \infty$

$$G_-(\alpha, s) = O(|\alpha|^{\eta+3}), \quad D_+(\alpha, s) = O(|\alpha|^{\eta-1}).$$

Следовательно, степень полинома равна единице и

$$D_+(\alpha, s)K_+(\alpha, s) - 2q_0 \sin(sb)L_+(\alpha, s) = 2q_0 \sin(sb)(a_1(s) + a_2(s)\alpha),$$

где $a_1(s)$, $a_2(s)$ — неизвестные функции, которые определяются из условий на кромке пластины.

В результате получаем

$$\Phi(\alpha, s, z) = 2q_0 \sin(sb) \frac{(a_1 + a_2\alpha + L_+(\alpha, s))Z(\alpha, s, z)}{K_+(\alpha, s)K_1(\alpha, s)},$$

$$\Phi(x, s, z) = \frac{q_0 \sin(sb)}{\pi} \int_{-\infty}^{\infty} \frac{e^{-i\alpha x} (a_1 + a_2\alpha + L_+(\alpha, s))Z(\alpha, s, z)}{K_+(\alpha, s)K_1(\alpha, s)} d\alpha,$$

$$\frac{\partial \Phi}{\partial z}(x, s, 0) = \frac{q_0 \sin(sb)}{\pi} \int_{-\infty}^{\infty} \frac{e^{-i\alpha x} (a_1 + a_2\alpha + L_+(\alpha, s))\sqrt{\alpha^2 + s^2} \operatorname{th}(\sqrt{\alpha^2 + s^2})}{K_+(\alpha, s)K_1(\alpha, s)} d\alpha.$$

Умножая при $x > 0$ числитель и знаменатель последнего подынтегрального выражения на $K_-(\alpha, s)$, находим

$$\begin{aligned} \frac{\partial \Phi}{\partial z}(x, s, 0) &= \frac{q_0 \sin(sb)}{\pi} \int_{-\infty}^{\infty} \frac{(e^{i\alpha(x_0+a-x)} - e^{i\alpha(x_0-a-x)})\sqrt{\alpha^2 + s^2} \operatorname{th}(\sqrt{\alpha^2 + s^2})}{\alpha K_2(\alpha, s)} d\alpha + \\ &+ \frac{q_0 \sin(sb)}{\pi} \int_{-\infty}^{\infty} \frac{e^{-i\alpha x} (a_1 + a_2\alpha - L_-(\alpha, s))\sqrt{\alpha^2 + s^2} \operatorname{th}(\sqrt{\alpha^2 + s^2}) K_-(\alpha, s)}{K_2(\alpha, s)} d\alpha. \end{aligned}$$

При вычислении интегралов важно правильно выбрать правило обхода полюсов на действительной оси, при этом используется условие излучения, аналогично тому как это

сделано в [25]. В области нагрузки вводится нестационарное давление с малым параметром ε $q(x, y, t) = q_0 e^{\varepsilon t}$, $\varepsilon > 0$. Тогда полюсы сдвигаются с действительной оси в верхнюю или нижнюю полуплоскость. Этот сдвиг и определяет правило обхода. Стационарное решение определяется как предел решения, полученного при $\varepsilon \rightarrow 0$. Установлено, что на положительной действительной полуоси полюсы обходятся снизу, а на отрицательной — сверху. Все интегралы по α вычисляем с помощью теории вычетов,

$$L_-(\alpha, s) = - \sum_{m=-2}^{\infty} \frac{\psi(\alpha_m)}{K'_-(\alpha_m, s)(\alpha_m - \alpha)}, \quad K'_-(\alpha_m, s) = \frac{K'_2(\alpha_m, s)}{K_+(\alpha_m, s)K_1(\alpha_m, s)}, \quad (2.7)$$

где штрих означает производную по первой переменной.

Краевые условия на кромке пластины запишем в виде

$$\left(\frac{\partial^2}{\partial x^2} - \nu s^2\right) \frac{\partial \Phi}{\partial z}(0, s, 0) = 0, \quad \frac{\partial}{\partial x} \left(\frac{\partial^2}{\partial x^2} - (2 - \nu)s^2\right) \frac{\partial \Phi}{\partial z}(0, s, 0) = 0.$$

Подставляя в эти условия выражение для потенциала и вычисляя интегралы с помощью теории вычетов, получаем систему уравнений для определения функций $a_1(s)$, $a_2(s)$

$$\begin{aligned} \sum_{j=-2}^{\infty} \frac{(\alpha_j^2 + \nu s^2) \sqrt{\alpha_j^2 + s^2} \operatorname{th}(\sqrt{\alpha_j^2 + s^2}) K_+(\alpha_j, s) (a_1 - a_2 \alpha_j - L_-(-\alpha_j, s))}{K'_2(\alpha_j, s)} + \\ + \sum_{j=-2}^{\infty} \frac{(\alpha_j^2 + \nu s^2) \psi(\alpha_j) \sqrt{\alpha_j^2 + s^2} \operatorname{th}(\sqrt{\alpha_j^2 + s^2})}{K'_2(\alpha_j, s)} = 0, \\ \sum_{j=-2}^{\infty} \frac{\alpha_j (\alpha_j^2 + (2 - \nu)s^2) \sqrt{\alpha_j^2 + s^2} \operatorname{th}(\sqrt{\alpha_j^2 + s^2}) K_+(\alpha_j, s) (a_1 - a_2 \alpha_j - L_-(-\alpha_j, s))}{K'_2(\alpha_j, s)} - \\ - \sum_{j=-2}^{\infty} \frac{\alpha_j (\alpha_j^2 + (2 - \nu)s^2) \sqrt{\alpha_j^2 + s^2} \operatorname{th}(\sqrt{\alpha_j^2 + s^2}) \psi(\alpha_j)}{K'_2(\alpha_j, s)} = 0. \end{aligned}$$

Ряды по j можно вычислить точно. Выполним подстановку

$$\sqrt{\alpha_j^2 + s^2} \operatorname{th}(\sqrt{\alpha_j^2 + s^2}) = - \frac{K_1(\alpha_j, s)}{\beta(\alpha_j^2 + s^2)^2 - \sigma F^2 s^2} \quad (2.8)$$

и преобразуем полученные соотношения, выражая их через вычеты в корнях многочлена в знаменателе формулы (2.8)

$$\eta_k = \pm(\pm\sqrt{\delta/\beta} - s^2)^{1/2}, \quad \delta = \sigma F^2 s^2.$$

Учитывая, что $K_+(-\eta_k, s) = K_-(\eta_k, s) = 1/K_+(\eta_k, s)$, так как $K(\eta_k, s) = 1$, получаем систему линейных алгебраических уравнений второго порядка

$$\sum_{j=1}^2 A_{ij} a_j = B_i, \quad i = 1, 2, \quad (2.9)$$

где

$$A_{11} = \sum_{k=1}^2 \frac{\eta_k^2 + \nu s^2}{\eta_k(\eta_k^2 + s^2)} \left(K_+(\eta_k, s) - \frac{1}{K_+(\eta_k, s)} \right),$$

$$\begin{aligned}
A_{12} &= - \sum_{k=1}^2 \frac{\eta_k^2 + \nu s^2}{\eta_k^2 + s^2} \left(K_+(\eta_k, s) + \frac{1}{K_+(\eta_k, s)} \right), \\
A_{21} &= \sum_{k=1}^2 \frac{\eta_k^2 + (2 - \nu)s^2}{\eta_k^2 + s^2} \left(K_+(\eta_k, s) + \frac{1}{K_+(\eta_k, s)} \right), \\
A_{22} &= - \sum_{k=1}^2 \frac{\eta_k(\eta_k^2 + (2 - \nu)s^2)}{\eta_k^2 + s^2} \left(K_+(\eta_k, s) - \frac{1}{K_+(\eta_k, s)} \right), \\
B_1 &= - \sum_{m=-2}^{\infty} \frac{\psi(\alpha_m)}{K'_-(\alpha_m, s)} \sum_{k=1}^2 \frac{\eta_k^2 + \nu s^2}{\eta_k(\eta_k^2 + s^2)} \left(\frac{1}{K_+(\eta_k, s)(\eta_k - \alpha_m)} + \frac{K_+(\eta_k, s)}{\eta_k + \alpha_m} \right), \\
B_2 &= \sum_{m=-2}^{\infty} \frac{\psi(\alpha_m)}{K'_-(\alpha_m, s)} \sum_{k=1}^2 \frac{\eta_k^2 + (2 - \nu)s^2}{\eta_k^2 + s^2} \left(\frac{1}{K_+(\eta_k, s)(\eta_k - \alpha_m)} - \frac{K_+(\eta_k, s)}{\eta_k + \alpha_m} \right).
\end{aligned}$$

В этих выражениях ряды сходятся по экспоненциальному закону. При $s = (\delta/\beta)^{1/4}$ коэффициенты A_{11} и B_1 имеют корневую особенность, $\eta_1 = 0$. Поэтому первое уравнение в (2.9) умножим на η_1 .

Анализ дисперсионных соотношений показывает, что при любых скоростях движения нагрузки существует значение s_0 , такое что $\gamma_0(s_0) = s_0$, $\gamma_0(s) < |s|$ при $|s| < s_0$ и $\gamma_0(s) > |s|$ при $|s| > s_0$. При $V \geq \sqrt{gH}$ $s_0 = 0$. Если скорость движения нагрузки меньше минимальной фазовой скорости изгибно-гравитационных волн c_m , то $\mu_0(s) < |s|$ для любых значений s . Если $c_m < V < \sqrt{gH}$, то существуют два значения s_1 и s_2 , такие что $\mu_0(s_n) = s_n$, $n = 1, 2$, $\mu_0(s) > |s|$ при $s_1 < |s| < s_2$. При $V > \sqrt{gH}$ $s_1 = 0$, т. е. $\mu_0(s) > |s|$ при $|s| < s_2$ и $\mu_0(s) < |s|$ при $|s| > s_2$.

Таким образом, при $s \rightarrow \infty$ правая часть системы (2.9) экспоненциально затухает, так как экспоненциально затухают функции $\psi(\alpha_m)$. Поэтому коэффициенты $a_1(s)$, $a_2(s)$, являющиеся решением системы, экспоненциально затухают при $s \rightarrow \infty$.

После решения системы (2.9) находим прогиб пластины и возвышение свободной поверхности. При $x > 0$

$$\begin{aligned}
W(x, y) &= -\frac{q_0}{\pi} \int_{-\infty}^{\infty} \frac{e^{isy} \sin(sb)}{s} \left(\Lambda(x, s) + \right. \\
&\quad \left. + \sum_{j=-2}^{\infty} \frac{e^{i\alpha_j x} (a_1 - a_2 \alpha_j - L_-(-\alpha_j, s)) K_+(\alpha_j, s) \mu_j \operatorname{th}(\mu_j)}{K'_2(\alpha_j, s)} \right) ds, \quad (2.10) \\
\Lambda(x, s) &= \frac{1}{2\pi i} \int_{-\infty}^{\infty} \frac{e^{-i\alpha x} \psi(\alpha) \sqrt{\alpha^2 + s^2} \operatorname{th}(\sqrt{\alpha^2 + s^2})}{K_2(\alpha, s)} d\alpha.
\end{aligned}$$

При $x < 0$

$$W(x, y) = -\frac{q_0 F^2}{\pi} \int_{-\infty}^{\infty} e^{isy} s \sin(sb) \sum_{j=0}^{\infty} \frac{e^{-i\chi_j x} \gamma_j (a_1 + a_2 \chi_j + L_+(\chi_j, s))}{\chi_j K_+(\chi_j, s) K'_1(\gamma_j)} ds. \quad (2.11)$$

В формуле (2.10) первый член представляет собой прогиб бесконечной упругой плавающей пластины при движении нагрузки, второй член учитывает влияние края и взаимодействие с поверхностными волнами. При вычислении функции $\Lambda(x, s)$ контур интегрирования замыкается в верхней или нижней полуплоскости в зависимости от значения x . При

$x_0 - a < x < x_0 + a$ одна экспонента аналитически продолжается в верхнюю полуплоскость, другая — в нижнюю, необходимо также учитывать полюс в нуле. При $x_0 - a < x < x_0 + a$ получаем

$$\begin{aligned} \Lambda(x, s) &= \sum_{j=-2}^{\infty} \frac{(e^{i\alpha_j(x_0+a-x)} + e^{i\alpha_j(x+a-x_0)} - 2)\mu_j \operatorname{th} \mu_j}{\alpha_j K_2'(\alpha_j, s)} = \\ &= \sum_{j=-2}^{\infty} \frac{(e^{i\alpha_j(x_0+a-x)} + e^{i\alpha_j(x+a-x_0)})\mu_j \operatorname{th} \mu_j}{\alpha_j K_2'(\alpha_j, s)} + \frac{s \operatorname{th} s}{K_2(0, s)}. \end{aligned}$$

При обращении преобразования Фурье подынтегральные функции экспоненциально затухают при $s \rightarrow \infty$.

Известно, что в задаче о движущейся области давления характер изменения прогиба пластины и возвышения жидкости перед нагрузкой и позади нее различается. Для того чтобы вычислить преобразование Фурье, представим функцию $f(y)$, заданную на всей действительной оси, в виде суммы четной и нечетной составляющих:

$$f(y) = f_0(y) + f_1(y), \quad f_0(y) = f_0(-y), \quad f_1(y) = -f_1(-y).$$

Преобразование Фурье этой функции имеет вид

$$\begin{aligned} F(s) &= \int_{-\infty}^{\infty} e^{-isy} f(y) dy = F_0(s) + iF_1(s), \\ F_0(s) &= 2 \int_0^{\infty} \cos(sy) f_0(y) dy, \quad F_1(s) = -2 \int_0^{\infty} \sin(sy) f_1(y) dy, \end{aligned}$$

где $F_0(s)$, $F_1(s)$ — четная и нечетная функции переменной s соответственно. Тогда обратное преобразование Фурье функции $F(s)$ является действительной функцией

$$\int_{-\infty}^{\infty} e^{isy} (F_0(s) + iF_1(s)) ds = 2 \int_0^{\infty} [\cos(sy) \operatorname{Re} F(s) - \sin(sy) \operatorname{Im} F(s)] ds.$$

Так как $\alpha_0 = \sqrt{\mu_0^2(s) - s^2}$, то $\alpha_0(s) = 0$ при $\mu_0(s) = s$ и выражение (2.7) для $L_-(-\alpha_0, s)$ содержит корневую интегрируемую особенность при $V > c_m$. Путем замены переменной интегрирования подынтегральную функцию можно сделать регулярной. Замена переменной проводится следующим образом. В случае $c_m < V < \sqrt{gH}$ область интегрирования делится на три участка:

- 1) $0 < s < s_1$: $s = s_1 \sin \zeta$, $0 < \zeta < \pi/2$;
- 2) $s_1 < s < s_2$: $s = s_0 + d \sin \zeta$, $-\pi/2 < \zeta < \pi/2$, $s_0 = (s_1 + s_2)/2$, $d = (s_2 - s_1)/2$;
- 3) $s > s_2$: $s = s_2 \operatorname{ch} \zeta$, $0 < \zeta < \infty$.

Если $V > \sqrt{gH}$, то первый участок отсутствует.

Асимптотика в дальнем поле волнового движения жидкости, обусловленного равномерным движением источника на бесконечной свободной поверхности жидкости, изучалась в [2]. Для жидкости, покрытой бесконечной упругой плавающей пластиной, асимптотика дальнего поля при движении нагрузки исследовалась в [4, 13]. В рассматриваемом случае исследование волн в дальнем поле проводится аналогично методом стационарной фазы, при этом фазовая функция и дисперсионное соотношение остаются теми же, что и в случае однородной верхней границы, различаются только медленно меняющиеся подынтегральные

функции. Поэтому качественно поведение волн в дальнем поле в основном такое же, как и для бесконечной среды.

Из формулы (2.11) следует, что основной вклад в асимптотику вертикальных смещений в дальнем поле вносит нулевая мода при $s > s_0$, остальные члены экспоненциально затухают. В полярной системе координат выражение для возвышения жидкости в дальнем поле можно представить в виде

$$W(r, \theta) = -\frac{q_0 F^2}{\pi} \int_{|s| > s_0} e^{ir\Omega(s, \theta)} f(s) ds, \quad \Omega(s, \theta) = s \sin \theta - \cos \theta \sqrt{\gamma_0^2(s) - s^2},$$

$$f(s) = s \sin(\theta) \frac{a_1(s) + \chi_0 a_2(s) + L_+(\chi_0, s)}{K_+(\chi_0, s) K_1'(\chi_0, s)}, \quad x = r \cos \theta, \quad y = r \sin \theta.$$

Точки стационарной фазы определяются соотношениями

$$\operatorname{tg} \theta = \frac{\gamma_0(s) \gamma_0'(s) - s}{\sqrt{\gamma_0^2(s) - s^2}}, \quad \Omega''_{ss}(s, \theta) = -\cos \theta \frac{\gamma_0 \gamma_0''(\gamma_0^2 - s^2) - (s \gamma_0' - \gamma_0)^2}{(\gamma_0^2 - s^2)^{3/2}}. \quad (2.12)$$

Используя метод стационарной фазы, можно показать, что внутри некоторого угла, где выполнено соотношение (2.12), возвышение жидкости в дальнем поле имеет вид

$$W(r, \theta) = A(\theta) / \sqrt{r} + O(r^{-1}), \quad (2.13)$$

если $\Omega''_{ss}(s, \theta) \neq 0$. Если при некотором значении угла θ , удовлетворяющего условию (2.12), выполнены соотношения $\Omega''_{ss}(s, \theta) = 0$, $\Omega'''_{sss}(s, \theta) \neq 0$, то в направлении, соответствующем этому углу, убывание пропорционально $r^{-1/3}$. Формулы для прогиба пластины в дальнем поле аналогичны, за исключением того, что основной вклад в прогиб пластины вносит область интегрирования $s_1 < |s| < s_2$, функция $f(s)$ имеет другой вид, а фазовая функция определяется соотношением

$$\Omega(s, \theta) = s \sin \theta + \cos \theta \sqrt{\mu_0^2(s) - s^2}.$$

Если скорость движения нагрузки меньше критической скорости, соответствующей минимальной фазовой скорости волн в пластине, то $\mu_0(s) < |s|$ для любых значений s и прогиб пластины затухает экспоненциально в дальнем поле.

При движении тела по свободной поверхности или ледяному покрову на него действуют боковая сила и сила волнового сопротивления, которые находятся по формулам

$$R_x = - \iint_S q w_x(x, y) dx dy, \quad R_y = - \iint_S q w_y(x, y) dx dy.$$

Безразмерные коэффициенты волновых сил A_x , A_y вычисляются по формулам [17]

$$\frac{R_x}{4q_0 ab} = -A_x \frac{q_0}{2\rho g b}, \quad \frac{R_y}{4q_0 ab} = -A_y \frac{q_0}{2\rho g b}.$$

3. Результаты численных расчетов. Проведены тестовые расчеты и сравнение их результатов с экспериментальными данными работы [12] и теоретическими результатами для бесконечного ледяного покрова [15]. Полученные данные хорошо согласуются.

Выполнены численные расчеты для полубесконечного ледяного покрова при входных параметрах, используемых в работах [13, 15]: $E = 5$ ГПа, $h = 2,5$ м, $\rho = 1000$ кг/м³, $\rho_0 = 922,5$ кг/м³, $\nu = 1/3$, $q_0 = 1000$ Н/м², $a = 10$ м, $b = 20$ м, $x_0 = 50$ м, толщина слоя жидкости $H = 350$ м. Скорость движения нагрузки менялась. Значениям скорости

$V = 10, 15, 20, 30, 50, 60$ м/с соответствуют значения числа Фруда $F = 0,171; 0,256; 0,341; 0,512; 0,853; 1,024$. В данном случае критическая скорость c_m , соответствующая наименьшей фазовой скорости волн в пластине, приближенно равна 21,8 м/с. Скорости $V = 10, 15, 20$ м/с являются докритическими, в этих случаях прогиб пластины в дальнем поле затухает экспоненциально.

При $V = 30$ м/с $\Omega''_{ss}(s, \theta) \neq 0$, выражение для прогиба пластины в дальнем поле имеет вид (2.13), а коэффициент $A(\theta)$ достигает максимума в направлении, составляющем с направлением скорости угол, равный $156,7^\circ$ (что согласуется с результатами [13]). Перед нагрузкой распространяются короткие, преимущественно изгибные волны, а позади нее — длинные, преимущественно гравитационные волны, каустики отсутствуют. При скоростях $V = 50, 60$ м/с вторая производная фазовой функции $\Omega''_{ss}(s, \theta)$ меняет знак, имеются каустики (поведение гребней волн исследовано в работе [13]). При $V = 60$ м/с за движущейся нагрузкой образуется зона тени, где волны не распространяются [13].

Возвышение свободной поверхности жидкости в дальнем поле, возникающее вследствие наличия движущегося возмущения, изменяется следующим образом. При скоростях $V = 15, 20, 30$ м/с угол θ , определяемый формулой (2.12), меняется в интервале от $\theta = 3\pi/2$ при $s = s_0$ до $\theta_* = 4,373$ при некотором значении s_* и затем увеличивается, при $s \rightarrow \infty$ $\theta \rightarrow 3\pi/2$. При этом $\Omega''_{ss}(s_*, \theta_*) = 0$. Таким образом, направление, соответствующее углу θ_* , является каустическим, вдоль этого направления убывание возвышения свободной поверхности минимальное и пропорционально $r^{-1/3}$. Это направление образует острый угол с линией движения, равный $19,47^\circ$. При $V = 50$ м/с возвышение жидкости в дальнем поле изменяется аналогично, но острый угол увеличивается до значения, равного $28,5^\circ$, что согласуется с результатами работы [2].

При $V = 60$ м/с $s_0 = 0$ и угол θ , определяемый соотношением (2.12), меняется в интервале от $\theta_0 = 3,359$ при $s = 0$ до $\theta = 3\pi/2$ при $s \rightarrow \infty$. Знак второй производной фазовой функции не меняется, но при $s = 0$ $\Omega'_s(0, \theta_0) = \Omega''_{ss}(0, \theta_0) = 0$, т. е. в направлении, соответствующем углу θ_0 , асимптотика возвышения жидкости в дальнем поле представляется в виде разложения по степеням $r^{-1/3}$. Поскольку при $s = 0$ медленно меняющаяся функция $f(s)$ и ее первая производная равны нулю, первые два члена асимптотики обращаются в нуль и главный член имеет порядок $O(r^{-1})$. В остальных направлениях, удовлетворяющих (2.12), асимптотика возвышения жидкости в дальнем поле имеет вид (2.13), при этом коэффициент $A(\theta)$ достигает максимума при $\theta = 3\pi/2 - 0,016$.

Из проведенных расчетов следует, что при скорости движения нагрузки $V = 10$ м/с и в жидкости, и в пластине волны отсутствуют. Деформация свободной поверхности жидкости мала. При $V = 15$ м/с в жидкости появляются волны, распространяющиеся за движущейся нагрузкой, в пластине волны отсутствуют. При $V = 20$ м/с волны в жидкости возбуждают волны в пластине вблизи кромки, затухающие вдали от края. На рис. 1 представлены трехмерные картины волн в жидкости и пластине.

На рис. 2 показаны прогиб пластины и возвышение жидкости в сечениях $x = 50$ м (центр области приложения нагрузки), $x = 0$ (кромка) и $x = -50$ м при $V = 20$ м/с, а также прогиб бесконечной пластины на расстоянии $x = 50$ м от центра области приложения нагрузки. Видно, что край полубесконечной пластины деформируется более существенно, чем бесконечная пластина в этом сечении. В бесконечной пластине при $V = 20$ м/с волны отсутствуют (кривая 3). В случае полубесконечной пластины движущийся прогиб края пластины вызывает появление волн в жидкости, которые генерируют волны в пластине вблизи края за движущейся нагрузкой, затухающие вдали от него. Следует отметить, что при скоростях $V = 15, 20$ м/с длина волн в жидкости не меняется, максимальные значения вертикальных смещений расположены на линии, составляющей с линией движения угол, равный $19,47^\circ$.

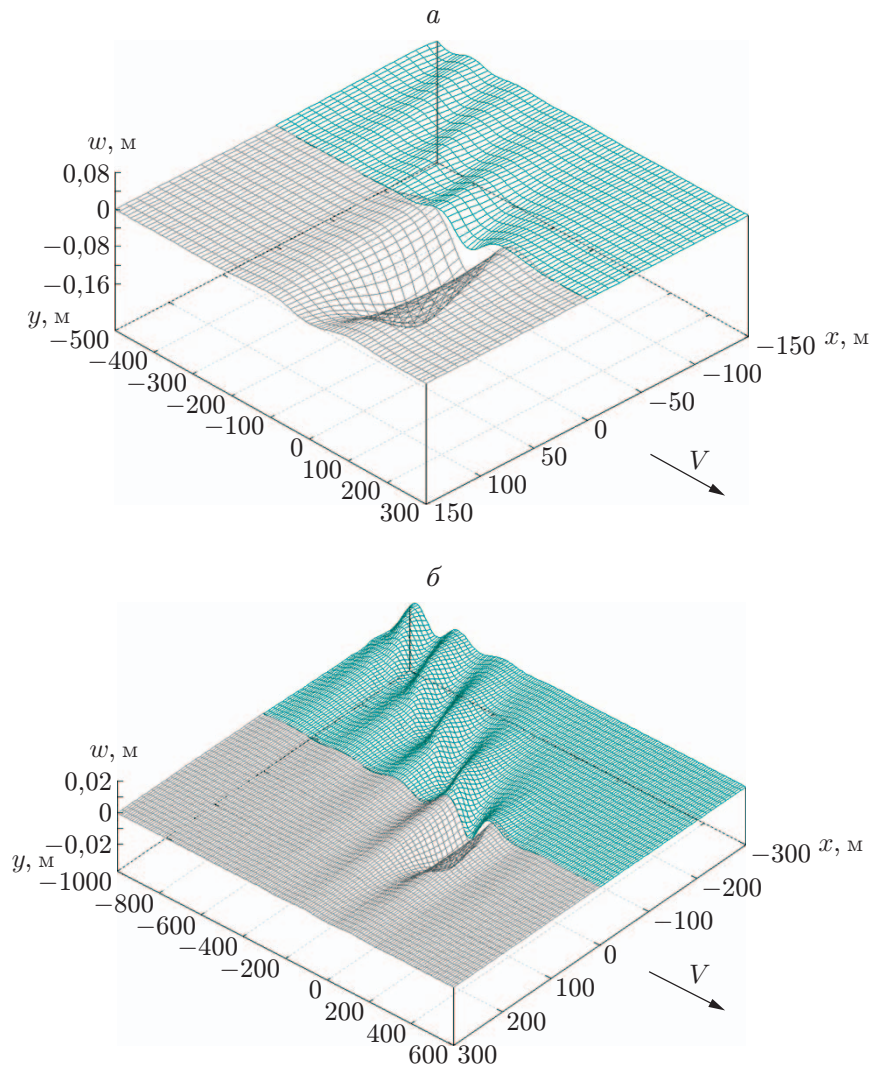


Рис. 1. Вертикальные смещения пластины и жидкости:
 а — $V = 15$ м/с, б — $V = 20$ м/с

Для изгибно-гравитационных волн скорость $V = 30$ м/с является сверхкритической. В этом случае вследствие движения нагрузки появляются короткие изгибные волны перед областью, в которой приложена нагрузка, и длинные гравитационные волны за этой областью. На рис. 3 показаны прогиб пластины на кромке (кривая 1), возвышение свободной поверхности вблизи края (кривая 2) и в сечении $x = -50$ м (кривая 3). Видно, что позади нагрузки в области длинных волн вблизи края вертикальные смещения пластины и жидкости совпадают, а в области перед нагрузкой, где волны короткие, различаются. При распространении волн в жидкости вдали от края происходит дисперсия волн, их длина меняется. Поскольку волны в пластине распространяются и перед нагрузкой, и позади нее, колебания края вовлекают в движение всю поверхность жидкости. Направление преимущественного распространения волн в жидкости образует с линией движения угол, равный $19,47^\circ$. На рис. 4 показаны прогиб пластины и возвышение свободной поверхности при $V = 30, 50, 60$ м/с. С увеличением скорости длина изгибных волн в пластине перед нагрузкой уменьшается, а длина гравитационных волн позади нее увеличивается, дисперсия волн в жидкости становится более существенной.

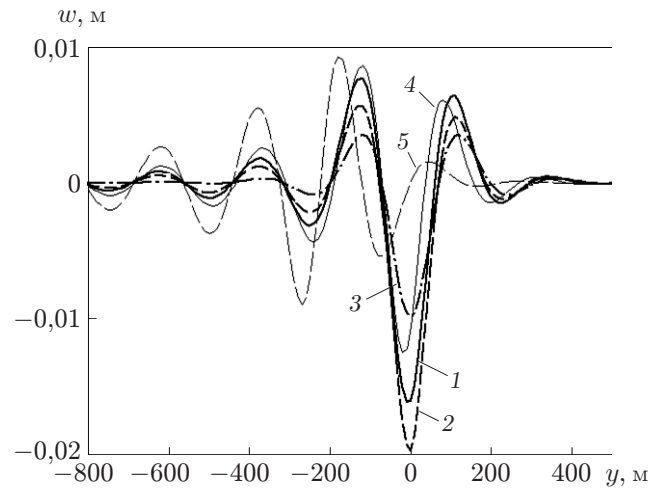


Рис. 2. Зависимость вертикальных смещений пластины (1–3) и жидкости (4, 5) от координаты y в различных сечениях ($V = 20$ м/с):
1, 3, 4 — $x = 0$ (3 — бесконечная пластина), 2 — $x = 50$ м, 5 — $x = -50$ м

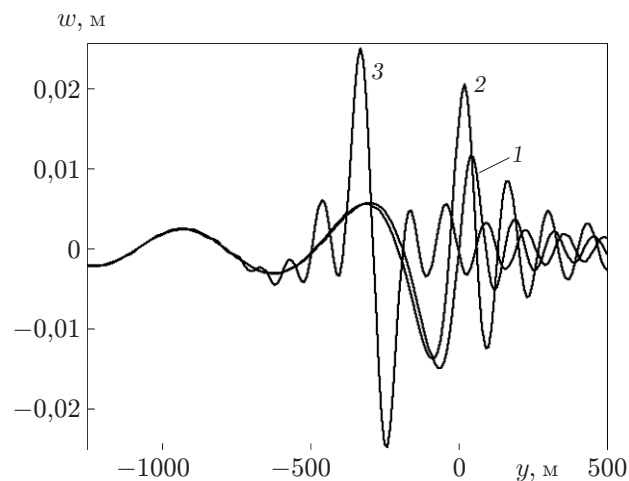


Рис. 3. Зависимость вертикальных смещений пластины (1) и жидкости (2, 3) от координаты y в различных сечениях ($V = 30$ м/с):
1, 2 — $x = 0$, 3 — $x = -50$ м

Зависимости безразмерных коэффициентов волновых сил A_y (кривая 1) и A_x (кривая 2), от скорости движения нагрузки V представлены на рис. 5. Там же приведена зависимость от скорости V коэффициента волнового сопротивления A_{y0} (кривая 3) для бесконечной пластины. Наиболее существенное различие кривых 1, 3 наблюдается при докритических скоростях, при которых $A_{y0} = 0$, и в окрестности критического значения скорости. Коэффициент боковой силы A_x меняет знак и становится отрицательным. Это объясняется тем, что при больших скоростях движения нагрузки максимальный по абсолютной величине прогиб пластины смещается в область позади нагрузки, при этом характер зависимости прогиба пластины от поперечной координаты x меняется. На рис. 6, 7 показан прогиб пластины в сечениях $y = 0$ и $x = 50$ м, соответствующих центру области приложения нагрузки, при различных скоростях движения. При малых скоростях наибольший по абсолютной величине прогиб пластины наблюдается вблизи центра области

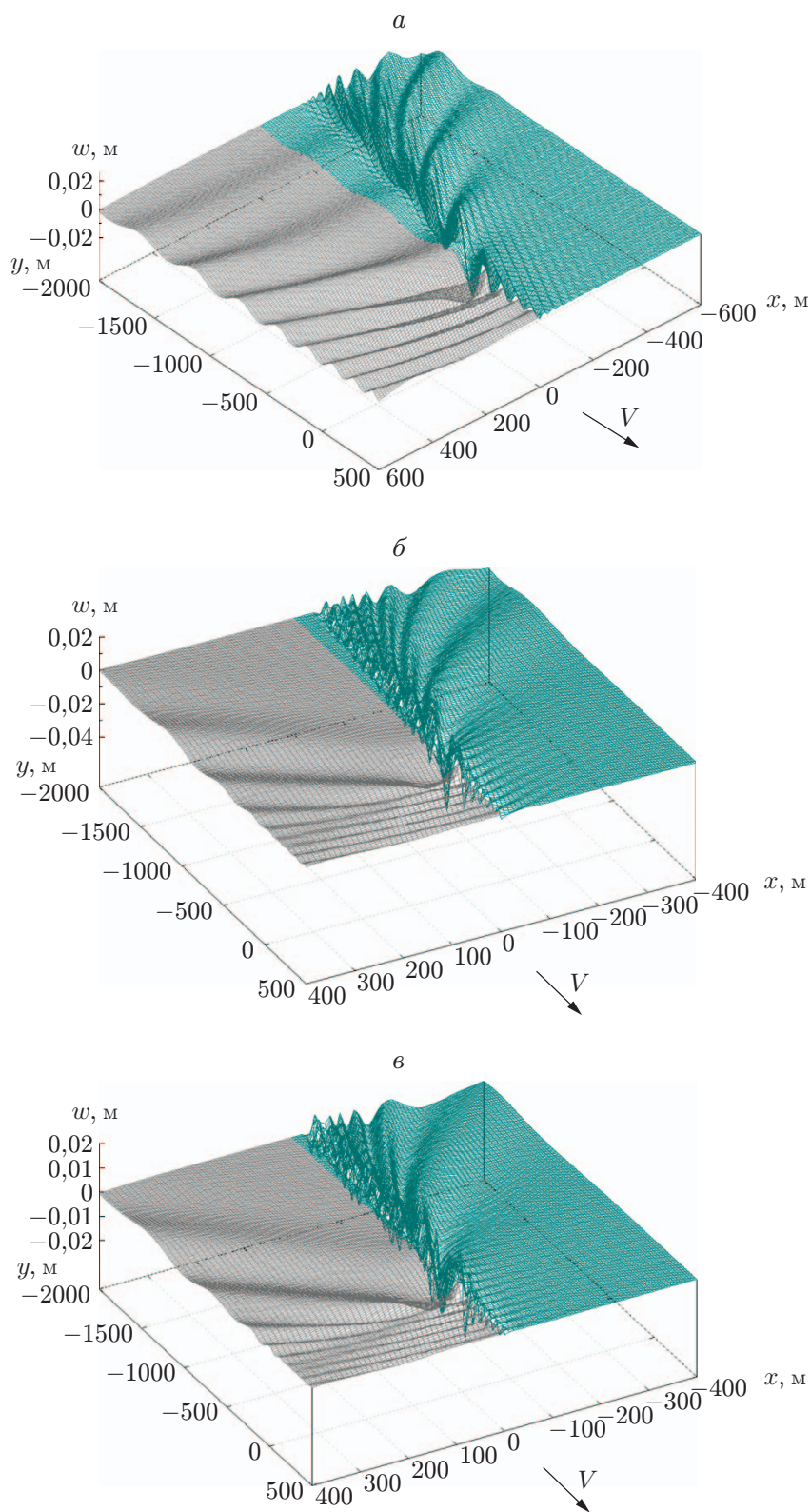


Рис. 4. Вертикальные смещения пластины и жидкости:
a — $V = 30$ м/с, *б* — $V = 50$ м/с, *в* — $V = 60$ м/с

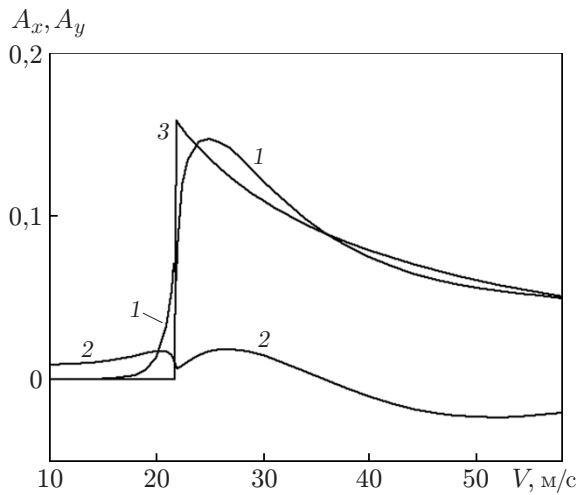


Рис. 5

Рис. 5. Зависимость безразмерных коэффициентов волновых сил от скорости движения нагрузки V :

1 — A_y , 2 — A_x , 3 — A_{y0}

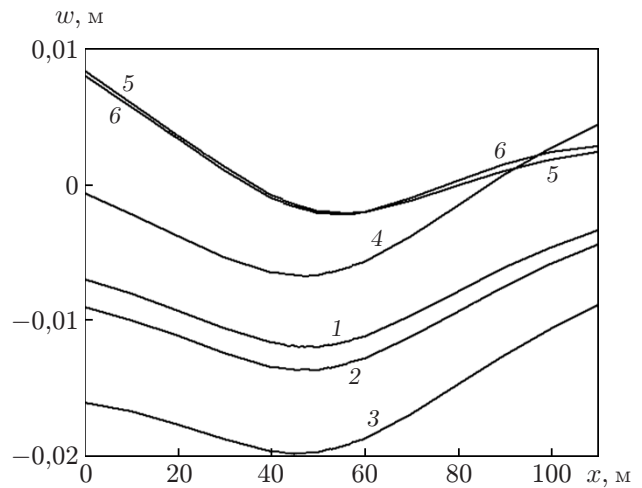


Рис. 6

Рис. 6. Прогиб пластины в сечении $y = 0$ в области действия нагрузки при различных скоростях движения:

1 — $V = 10$ м/с, 2 — $V = 15$ м/с, 3 — $V = 20$ м/с, 4 — $V = 30$ м/с, 5 — $V = 50$ м/с, 6 — $V = 60$ м/с

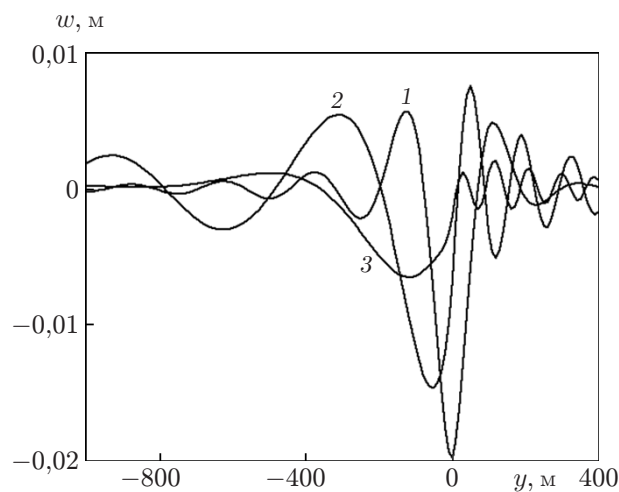


Рис. 7. Прогиб пластины в сечении $x = 50$ м при различных скоростях движения нагрузки:

1 — $V = 20$ м/с, 2 — $V = 30$ м/с, 3 — $V = 50$ м/с

приложения нагрузки, а при больших скоростях — позади этой области. При больших скоростях реакция пластины происходит с запаздыванием. Чем больше скорость движения нагрузки, тем больше расстояние от центра области приложения нагрузки до точки максимального по абсолютной величине прогиба пластины.

Заключение. Получено аналитическое стационарное решение задачи о генерации волн нагрузкой, равномерно движущейся по упругой плавающей полубесконечной пластине, находящейся на поверхности жидкости конечной глубины. Исследовано влияние скорости нагрузки на волновые силы и на характер генерируемых волн в жидкости и пластине.

ЛИТЕРАТУРА

1. **Kerr A. D., Palmer W. T.** The deformations and stresses in floating ice plates // *Acta Mech.* 1972. V. 15. P. 57–72.
2. **Havelock T. H.** The propagation of groups of waves in dispersive media, with application to waves on water produced by a travelling disturbance // *Proc. Roy. Soc. London. Ser. A.* 1908. V. 81. P. 398–430.
3. **Хейсин Д. Е.** Перемещение нагрузки по упругой пластинке, плавающей на поверхности идеальной жидкости // *Изв. АН СССР. Отд-ние техн. наук. Механика и машиностроение.* 1963. № 1. С. 178–180.
4. **Доценко С. Ф.** Установившиеся гравитационно-упругие трехмерные волны от движущихся возмущений // *Цунами и внутренние волны.* Севастополь: Мор. гидрофиз. ин-т АН УССР, 1976. С. 144–155.
5. **Хейсин Д. Е.** Динамика ледяного покрова. Л.: Гидрометеиздат, 1967.
6. **Черкесов Л. В.** Поверхностные и внутренние волны. Киев: Наук. думка, 1973.
7. **Squire V. A.** Moving loads on ice plates / V. A. Squire, R. J. Hosking, A. D. Kerr, et al. Dordrecht: Kluwer, 1996.
8. **Козин В. М.** Прикладные задачи динамики ледяного покрова / В. М. Козин, В. Д. Жесткая, А. В. Погорелова, С. Д. Чижиумов, М. Р. Джабраилов, В. С. Морозов, А. Н. Кустов. М.: Акад. естествознания, 2008.
9. **Bukatov A. E., Zharkov V. V.** Formation of the ice cover's flexural oscillations by action of surface and internal ship waves. 1. Surface waves // *Intern. J. Offshore Polar Engng.* 1997. V. 7, N 1. P. 1–12.
10. **Squire V. A.** Synergies between VLFS hydroelasticity and sea ice research // *Intern. J. Offshore Polar Engng.* 2008. V. 18, N 4. P. 241–253.
11. **Козин В. М.** Экспериментально-теоретические исследования зависимости параметров распространяющихся в плавающей пластине изгибно-гравитационных волн от условий их возбуждения / В. М. Козин, А. В. Погорелова, В. Л. Земляк, В. Ю. Верещагин, В. Е. Рогожникова, Д. Ю. Кипин, А. А. Матюшина. Новосибирск: Изд-во СО РАН, 2016.
12. **Takizawa T.** Deflection of a floating sea ice sheet induced by moving load // *Cold Regions Sci. Tech.* 1985. V. 11. P. 171–180.
13. **Davys J. W., Hosking R. J., Sneyd A. D.** Waves due to steadily moving source on a floating ice plate // *J. Fluid Mech.* 1985. V. 158. P. 269–287.
14. **Schulkes R. M. S. M., Hosking R. J., Sneyd A. D.** Waves due to a steadily moving source on a floating ice plate. Pt 2 // *J. Fluid Mech.* 1987. V. 180. P. 297–318.
15. **Milinzazzo F., Shinbrot M., Evans N. W.** A mathematical analysis of the steady response of floating ice to the uniform motion of a rectangle load // *J. Fluid Mech.* 1995. V. 287. P. 173–197.

16. **Yeung R. W., Kim J. W.** Effects of a translating load on a floating plate-structural drag and plate deformation // *J. Fluids Structures*. 2000. V. 14, N 7. P. 993–1011.
17. **Козин В. М., Погорелова А. В.** Волновое сопротивление амфибийных судов на воздушной подушке при движении по ледяному покрову // *ПМТФ*. 2003. Т. 44, № 2. С. 49–55.
18. **Погорелова А. В.** Особенности волнового сопротивления СВПА при нестационарном движении по ледяному покрову // *ПМТФ*. 2008. Т. 49, № 1. С. 89–99.
19. **Жесткая В. Д., Козин В. М.** Исследования напряженно-деформированного состояния полубесконечного ледяного покрова под действием движущейся нагрузки // *ПМТФ*. 1994. Т. 35, № 5. С. 112–117.
20. **Kashiwagi M.** Transient responses of a VLFS during landing and take-off of an airplane // *J. Marine Sci. Technol.* 2004. V. 9, N 1. P. 14–23.
21. **Brocklehurst P.** Hydroelastic waves and their interaction with fixed structures: PhD thesis. Norwich: Univ. East Anglia, 2012.
22. **Shishmarev K., Khabakhpasheva T., Korobkin A.** The response of ice cover to a load moving along a frozen channel // *Appl. Ocean Res.* 2016. V. 59. P. 313–326.
23. **Нобл Б.** Метод Винера — Хопфа для решения дифференциальных уравнений в частных производных. М.: Изд-во иностр. лит., 1962.
24. **Гельфанд И. М.** Обобщенные функции и действия над ними / И. М. Гельфанд, Г. Е. Шиллов. М.: Физматгиз, 1958.
25. **Лайтхилл Дж.** Волны в жидкостях. М.: Мир, 1981.

*Поступила в редакцию 10/IV 2017 г.,
в окончательном варианте — 27/IV 2017 г.*
